



UNITED
ORTHOPEDIC®

Tige Conformity™

Tige fémorale quadrangulaire



Tige Conformity –

La tige fémorale Conformity constitue une solution complète pour les arthroplasties de la hanche. Issue d'un concept reconnu, elle est disponible dans différentes versions avec plusieurs options de col (standard, latéralisé (High Offset), varisé et col court), avec ou sans collerette, avec ou sans ciment. Cette diversité de choix fournit aux chirurgiens une solution adaptée à chaque cas clinique pour répondre aux besoins de chaque patient. Les paramètres dimensionnels de la tige permettent la chirurgie quel que soit l'abord, standard ou mini-invasif.



La philosophie de compaction de l'os spongieux

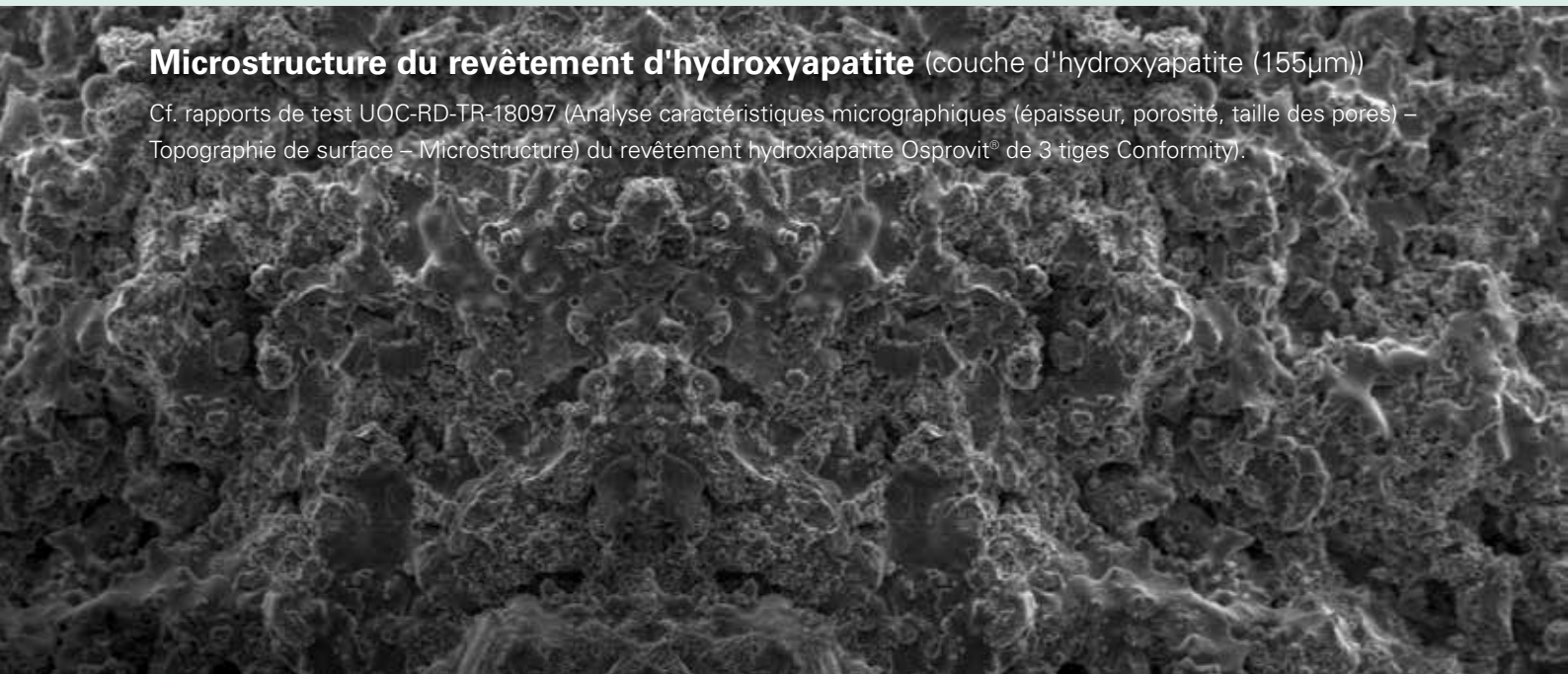


La fixation primaire en press-fit est assurée par la géométrie et le relief de l'implant. La fixation secondaire est relayée par la rugosité de surface revêtue d'hydroxyapatite qui optimise l'ancrage biologique et la repousse osseuse sur l'implant. La tige Conformity suit le principe de compaction de l'os spongieux pour préserver la couche bioactive.

La conception de ses râpes joue un rôle essentiel dans la préservation de l'os spongieux. Ses dents émoussées et nervurées compactent et limitent l'extraction de l'os spongieux pendant la phase de préparation du canal fémoral.

Microstructure du revêtement d'hydroxyapatite (couche d'hydroxyapatite (155µm))

Cf. rapports de test UOC-RD-TR-18097 (Analyse caractéristiques micrographiques (épaisseur, porosité, taille des pores) – Topographie de surface – Microstructure) du revêtement hydroxyapatite Osprovit® de 3 tiges Conformity).



Les forces de compression exercées sur l'os jouent également un rôle mécanique important en stimulant le remodelage osseux^[1].

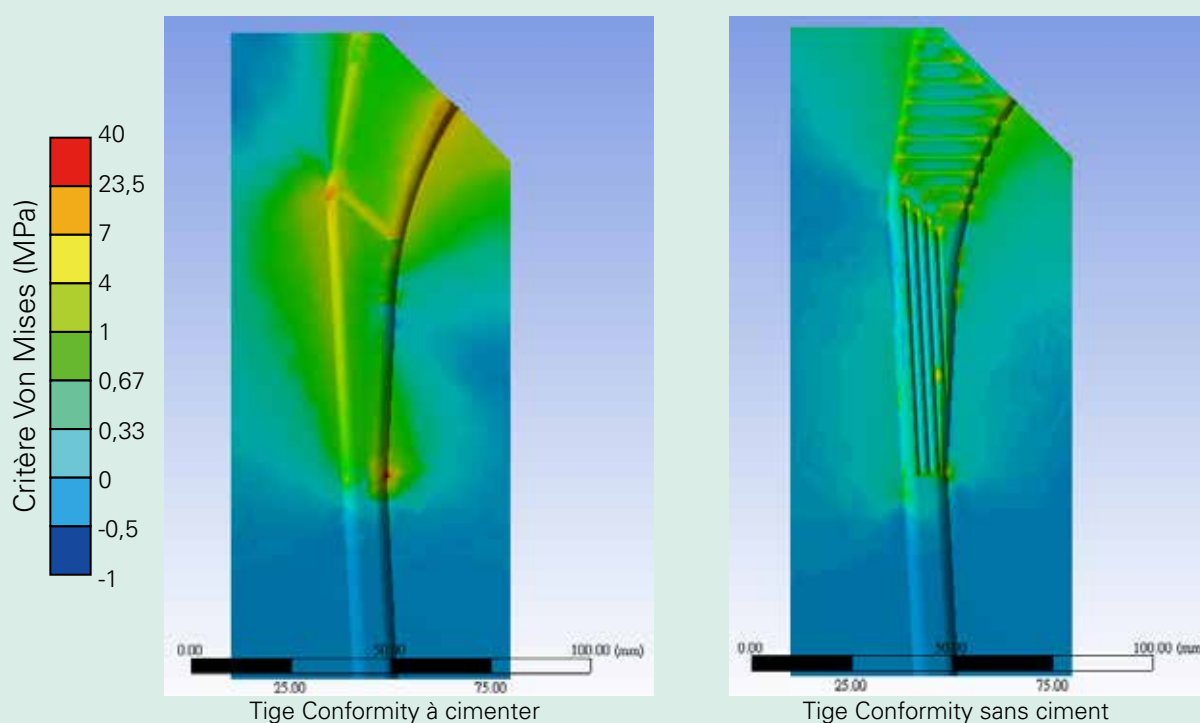
Cet environnement biomécanique constitue une solution favorable pour une mise en place stable et durable de la tige fémorale.

[1] Publication sur le remodelage osseux et son rôle dans le maintien de l'intégrité du squelette.



Stabilité structurelle et caractéristique biomécanique

Les rainures médiales (en forme d'escalier) et les rainures horizontales antéro-postérieures présentes sur la partie proximale de la tige Conformity offrent un appui axial supportant les forces de compression de la tête fémorale. En s'engageant dans l'os, la tige Conformity, avec ses rainures dentelées médiales, est conçue pour mieux répartir les contraintes sur la structure osseuse afin de diminuer le risque de fracture fémorale lors de l'impaction.



Appui axial : comparaison de la répartition des contraintes du critère Von Mises sur la structure osseuse environnante^[2].

[2] Image stabilité axiale issue du rapport UOC-UPD-21-003. Données internes United.

Adaptée à la réalité

Longueurs de col et offset appropriés

Se basant sur les études anthropométriques, l'offset des tiges Conformity varie de 36,0 à 43,5 mm (version standard) et de 43,0 à 50,5 mm (high offset/coxa vara). Un offset encore plus grand peut être ajusté en jouant avec les différentes longueurs de têtes fémorales proposées. Pour les patients de plus petite stature, un offset plus court de la tête fémorale peut être obtenu en utilisant des tiges avec des cols courts (entre 31,0 et 32,5 mm).

Pour répondre aux exigences d'offset fémoral sur le plan anatomique, le choix d'une longueur de tige appropriée est essentiel dans la pratique clinique. Les longueurs de col suivantes sont disponibles pour la tige Conformity :

Standard : 35,5 mm (CCD 135°)

High offset : 40,5 mm (CCD 135°)

Coxa vara : 37,5 mm (CCD 125°)

Col court : 28,5 mm (CCD 135°)

| Nom de l'étude | Nombre de cas analysés | Base de données/ Population | Offset de la tête (moyenne en mm) | Plage (en mm) |
|---------------------------------------|-------------------------|-----------------------------|-----------------------------------|---------------------|
| Carmona et al. (2019) ^[3] | 628 hanches bilatérales | SOMA | 40,6/44,3 (femmes/hommes) | – |
| de Sousa et al. (2010) ^[4] | 110 fémurs | Brazil | 42,0 / 42,6 (gauche/droite) | 28,5 à 65,0 |
| Siwach (2018) ^[5] | 150 fémurs | India | 38 | 29 à 47 |
| Rubin et al. (1992) ^[6] | 32 fémurs | Caucasian | 47 | 33,2 à 62,8 |
| Noble et al. (1988) ^[7] | 200 fémurs | Caucasian | 43 | 23,6 à 61 |
| Rawal et al. (2012) ^[8] | 98 fémurs | India | 37,4 / 42,83 (femmes/hommes) | 32 à 54 |
| Husmann et al. (1997) ^[9] | 310 fémurs | France | 40,5 | 23,4 à 60,8 |
| Tige Conformity | | | 43,25 (milieu de gamme) | 28,9 à 57,6* |

*Plage définie par l'offset de la tête fémorale U2 entre -3 et +10 mm

[3] Analyse morphométrique – base de données SOMA - 628 hanches (hanches bilatérales) (394 hommes / 234 femmes, âge moyen 61.5±16.5 ans, IMC moyen 26.9±5.2kg/m²) origines (226 Asiatiques and 406 Caucasiens)

[4] Etude morphométrique de l'extrémité proximale du fémur – Brésil – 110 fémurs de cadavres adultes (os sec) – (49 D – 61 G).

[5] Étude morphologique de l'extrémité proximale du fémur – Inde – 150 fémurs de cadavres (75 paires).

[6] Etude morphologique du fémur proximal – Suisse – 32 fémurs de cadavre (17 G – 15 D) – (13 hommes – 19 femmes).

[7] Etude anthropométrique approfondie de la géométrie fémorale proximale – USA – 200 fémurs de cadavres

[8] Mesure et analyse des différences de dimensions de fémurs entre la population âgée en Inde et d'autres populations : 98 fémurs (56 G- 42 D), (29 femmes-31 hommes)

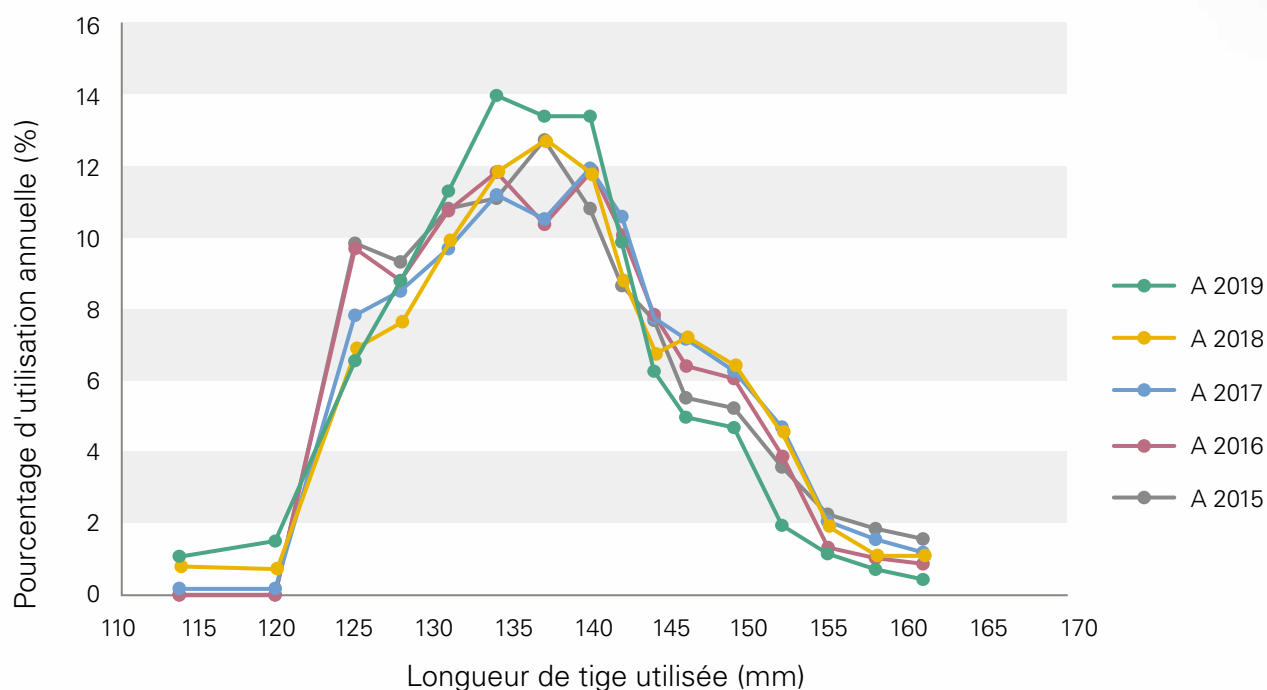
[9] Examen morphologique du fémur proximal à partir de 310 scans CT (53% D, 47% G) – France- 300 patients (57% hommes, 43% femmes)





Importance du choix de la longueur de tige

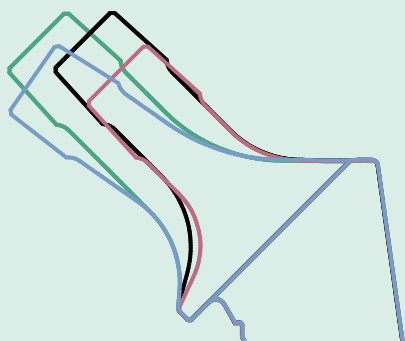
Le choix d'une longueur de tige adéquate est fondamental pour la stabilité de l'implant. Toutefois, si la tige est trop longue, une incidence plus élevée de fractures péri-prothétiques est observée et des douleurs de cuisse peuvent affecter la qualité des résultats postopératoires^[10].



Ce graphique indique la répartition des longueurs de tiges UTF sans ciment utilisées dans la pratique clinique depuis 2015^[11]. Les longueurs de tiges utilisées avec les tiges Conformity (entre 115 et 160 mm) peuvent répondre aux principaux besoins anatomiques d'un large panel de patients.

[10]] Etude rétrospective sur la prévalence et les conséquences cliniques des fractures per-opératoires périprothétiques du fémur de 113 pth sans ciment entre mars 2012 et octobre 2017. (100 patients ; 81 hommes – 19 femmes). 13/113 fractures ont été retrouvées (11,5%). Ces types de fracture sont fréquemment observés lors d'une implantation de tige fémorale sans ciment, longue, dans une PTH de première intention. Les CT scan sont utiles pour les identifier, et ces fractures n'affectent pas négativement la survie de l'implant si une fixation rigide des implants est effectuée.

[11] Graphique issu du dossier UOC-UPD-SI-21004. Données commerciales internes United.



4 options pour la restauration du col

- ● Standard (135°) ● High Offset (135°)
- ● Coxa vara (125°) ● Col court (135°)

Avec ou sans collerette

- Permet au chirurgien de répondre aux besoins de ses patients

Rainures médiales

- Réduisent les contraintes périphériques

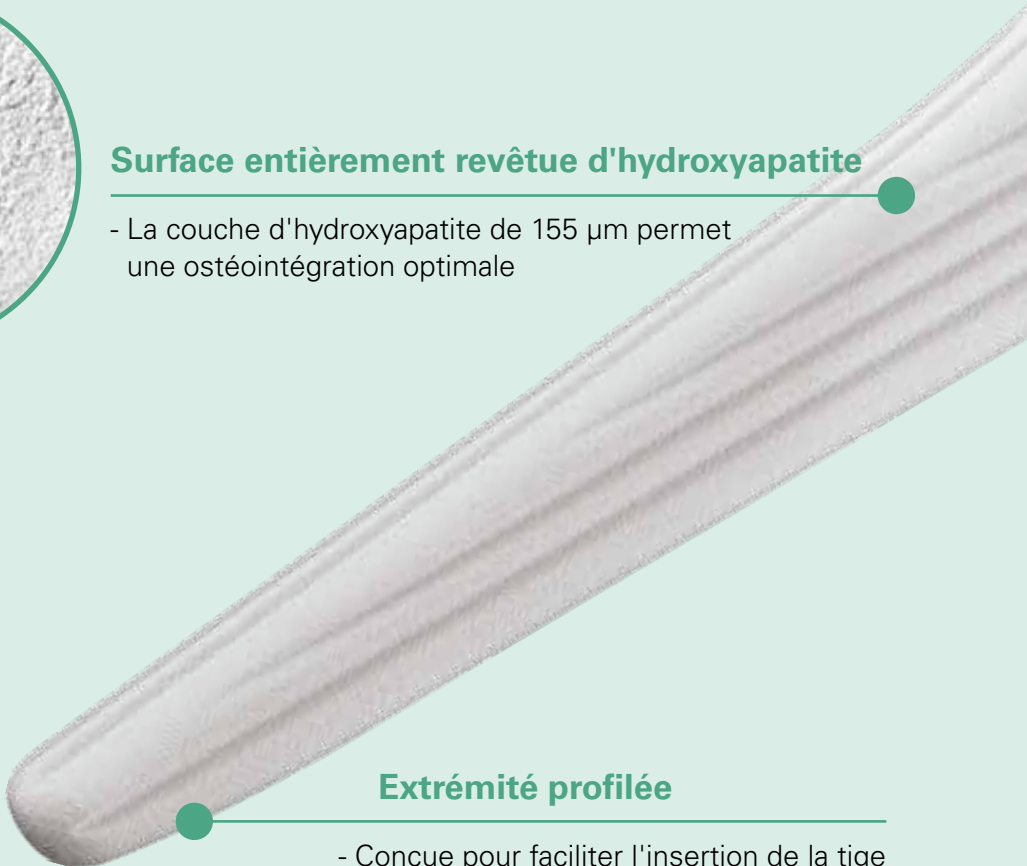


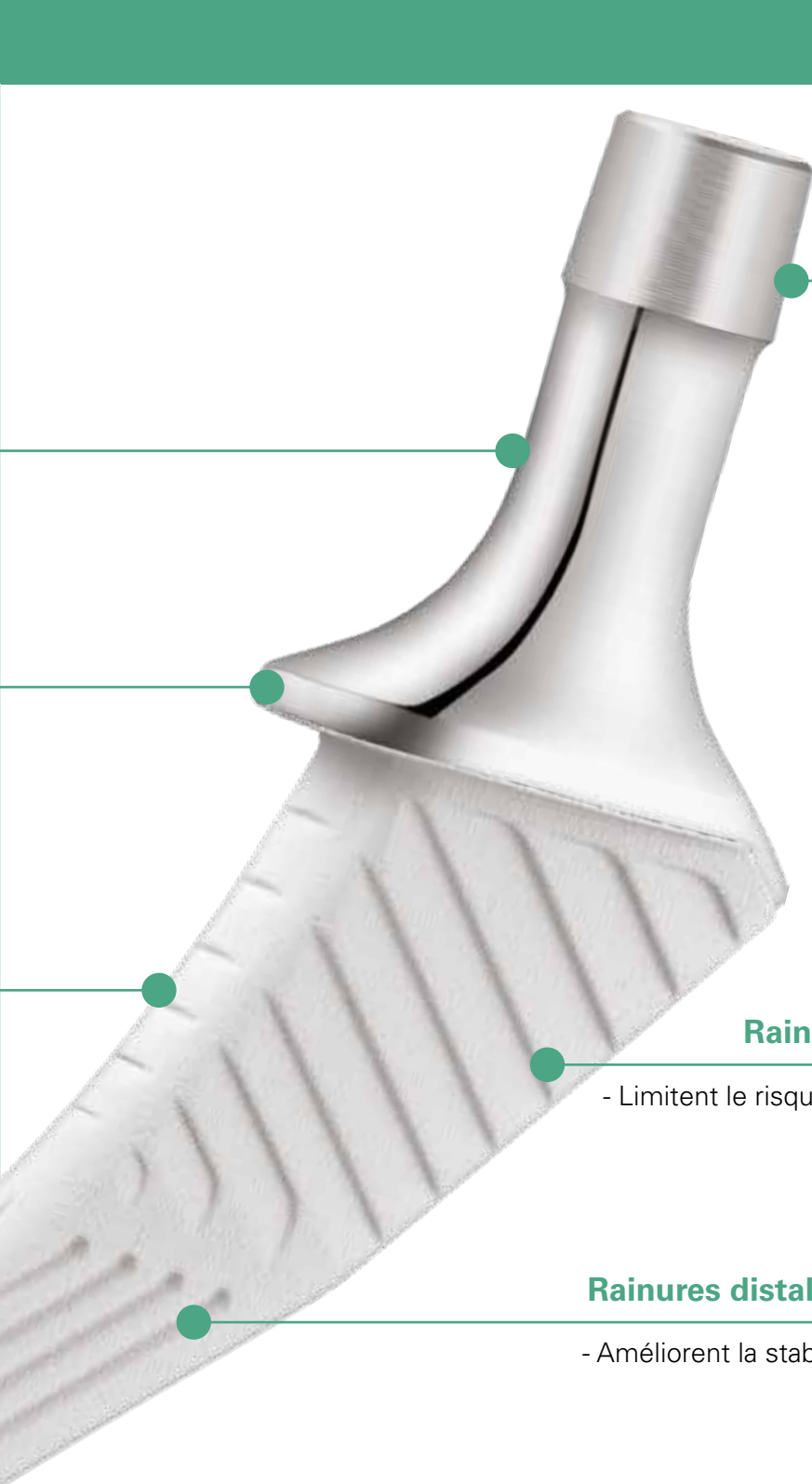
Surface entièrement revêtue d'hydroxyapatite

- La couche d'hydroxyapatite de 155 μm permet une ostéointégration optimale

Extrémité profilée

- Conçue pour faciliter l'insertion de la tige





Cône morse 12/14

- Compatible avec une large sélection de têtes fémorales

Rainures proximales horizontales

- Limitent le risque d'affaissement de la tige

Rainures distales verticales

- Améliorent la stabilité rotationnelle

Des options adaptées à chaque besoin

Standard, sans collerette



High offset, sans collerette



Standard, avec collerette



High offset, avec collerette

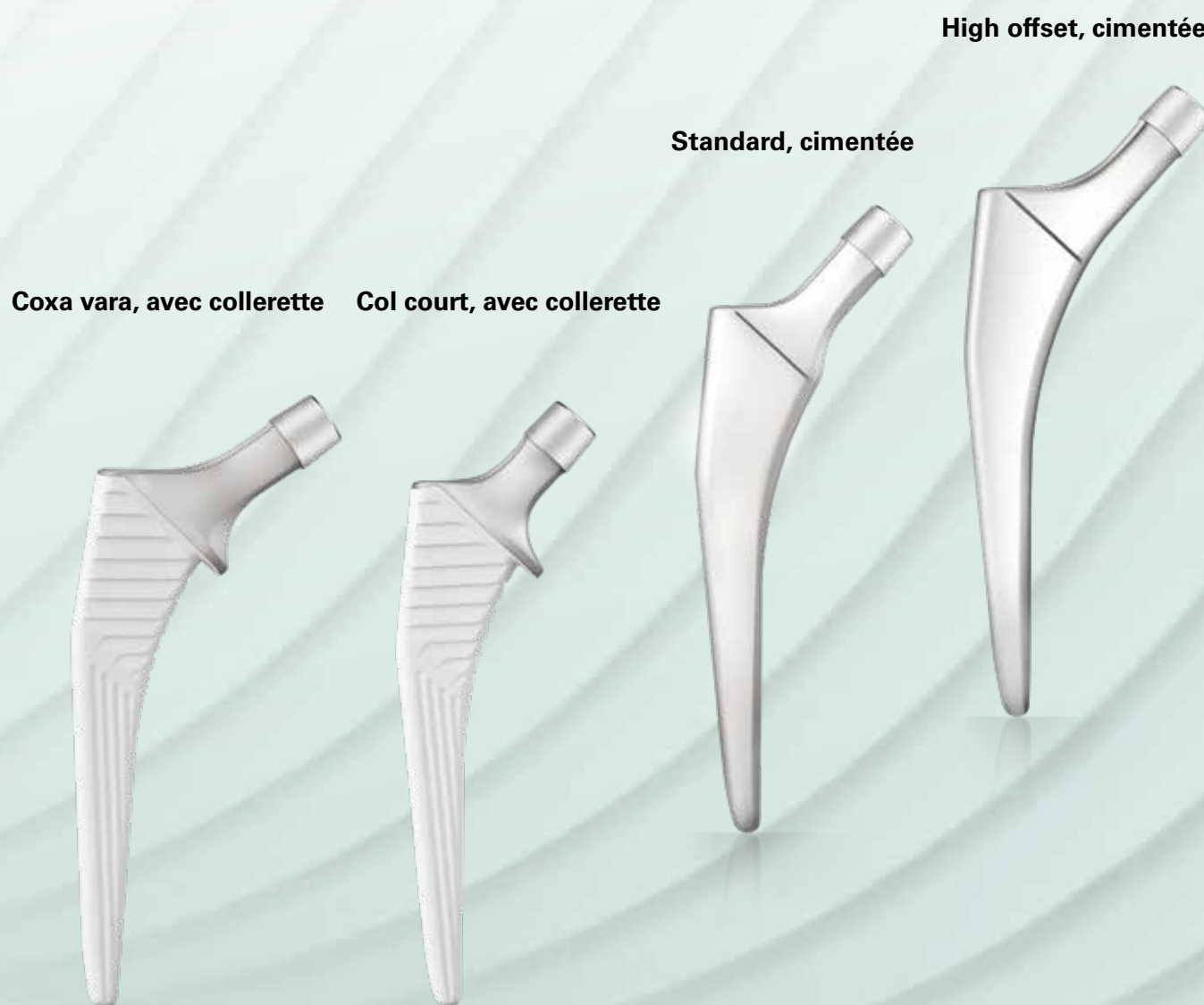


Les options d'offset standard et latéralisé (high offset) permettent au chirurgien d'ajuster la tension des tissus mous pour stabiliser l'articulation.

La collerette apporte un soutien au niveau du calcar visant à prévenir l'affaissement de la tige après son insertion ^[12,13].

[12] Etude rétrospective sur 807 PTH de première intention réalisées entre 2006 et 2010 chez 798 patients (Age moyen $65 \pm 14,2$ ans). Des tiges latérales ont été utilisées dans 280 cas (Corail High Offset KHO, $n = 169$; et Corail coxa vara KLA, $n = 111$ cas) et des tiges standard dans 527 cas (Corail KA). Suivi moyen 2,3 ans. L'évaluation comprenait la détermination du score de Postel-Merle d'Aubigné (PMA). La fixation osseuse et la stabilité des implants ont été évaluées en déterminant le score d'Eng et de Massin et le score ARA sur les radiographies au dernier recul. Les valeurs d'offset fémoral, acétabulaire et global ont été déterminées avant et après PTH. Le Canal Flare Index de Nobles a été calculé. La survie a été estimée en utilisant la méthode de Kaplan-Meier avec une reprise chirurgicale pour descellement aseptique comme critère d'évaluation.

[13] Etude rétrospective de 172 tiges latéralisées (KHO, gamme CorailTM) implantées au cours d'une PTH de première intention entre 2006 et 2012 chez 157 patients (âge moyen 68 ans $\pm 12,6$ (20-95), 89 % hommes). Les radiographies ont été utilisées pour évaluer les scores d'ostéointégration, la restauration de l'offset et l'indice de Noble. L'analyse de survie de Kaplan-Meier a été réalisée en utilisant comme critères d'évaluation « Les anomalies radiologiques fémorales symptomatiques » et « La révision pour non-intégration de tige aseptique ».



Ces deux versions sont adaptées aux patients présentant sur le plan anatomique un angle cervico-diaphysaire en coxa vara ou un col court.

La gamme de tiges à cimenter permet également de pallier une qualité osseuse médiocre, un déficit de la stabilité dû à une perte osseuse ou une géométrie de canal ambiguë.

Informations de commande

| | Référence | Description |
|--|-----------|-------------|
|--|-----------|-------------|

Tige Conformity, avec collerette

Standard



High offset



Standard

- 1110 - 1001
- 1110 - 1002
- 1110 - 1003
- 1110 - 1004
- 1110 - 1005
- 1110 - 1006
- 1110 - 1007
- 1110 - 1008
- 1110 - 1009
- 1110 - 1010
- 1110 - 1011

High offset

- 1110 - 1201
- 1110 - 1202
- 1110 - 1203
- 1110 - 1204
- 1110 - 1205
- 1110 - 1206
- 1110 - 1207
- 1110 - 1208
- 1110 - 1209
- 1110 - 1210
- 1110 - 1211

- # 1
- # 2
- # 3
- # 4
- # 5
- # 6
- # 7
- # 8
- # 9
- # 10
- # 11

Tige Conformity, sans collerette

Standard



High offset



Standard

- 1110 - 3001
- 1110 - 3002
- 1110 - 3003
- 1110 - 3004
- 1110 - 3005
- 1110 - 3006
- 1110 - 3007
- 1110 - 3008
- 1110 - 3009
- 1110 - 3010
- 1110 - 3011

High offset

- 1110 - 3201
- 1110 - 3202
- 1110 - 3203
- 1110 - 3204
- 1110 - 3205
- 1110 - 3206
- 1110 - 3207
- 1110 - 3208
- 1110 - 3209
- 1110 - 3210
- 1110 - 3211

- # 1
- # 2
- # 3
- # 4
- # 5
- # 6
- # 7
- # 8
- # 9
- # 10
- # 11

Tige Conformity, coxa vara, avec collerette



Coxa vara

- 1110 - 5202
- 1110 - 5203
- 1110 - 5204
- 1110 - 5205
- 1110 - 5206
- 1110 - 5207
- 1110 - 5208
- 1110 - 5209
- 1110 - 5210
- 1110 - 5211

- # 2
- # 3
- # 4
- # 5
- # 6
- # 7
- # 8
- # 9
- # 10
- # 11

Tige Conformity, col court, avec collerette

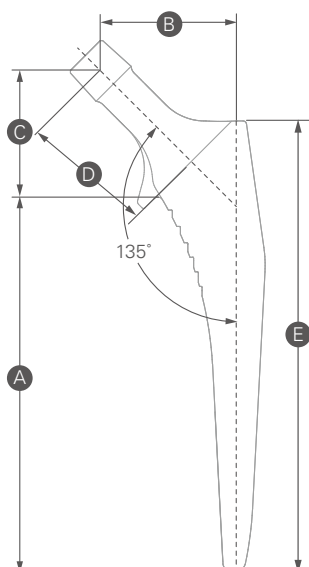


Col court

- 1110 - 1401
- 1110 - 1402
- 1110 - 1403

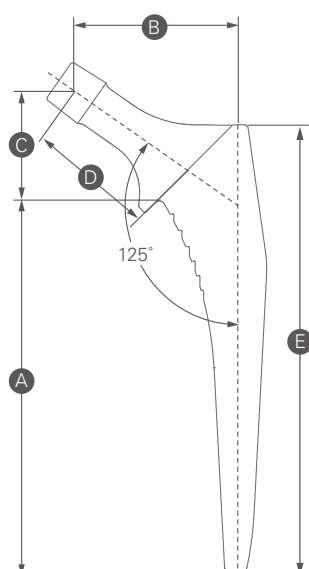
- # 1
- # 2
- # 3

Avec et sans collerette



| Taille | A Longueur médiale | B Offset | | C Hauteur verticale | D Longueur du col | | E Longueur latérale |
|--------|-----------------------|-------------|-------------|------------------------|----------------------|-------------|------------------------|
| | | Standard | High offset | | Standard | High offset | |
| #1 | 95,0 | 36,0 | 43,0 | 34,0 | 35,5 | 40,5 | 115,0 |
| #2 | 99,5 | 36,5 | 43,5 | 34,0 | 35,5 | 40,5 | 119,5 |
| #3 | 104,0 | 37,5 | 44,5 | 34,0 | 35,5 | 40,5 | 124,0 |
| #4 | 108,5 | 38,0 | 45,0 | 34,0 | 35,5 | 40,5 | 128,5 |
| #5 | 113,0 | 39,0 | 46,0 | 34,0 | 35,5 | 40,5 | 133,0 |
| #6 | 117,5 | 39,5 | 46,5 | 34,0 | 35,5 | 40,5 | 137,5 |
| #7 | 122,0 | 40,0 | 47,0 | 34,0 | 35,5 | 40,5 | 142,0 |
| #8 | 126,5 | 41,0 | 48,0 | 34,0 | 35,5 | 40,5 | 146,5 |
| #9 | 131,0 | 41,5 | 48,5 | 34,0 | 35,5 | 40,5 | 151,0 |
| #10 | 135,5 | 42,5 | 49,5 | 34,0 | 35,5 | 40,5 | 155,5 |
| #11 | 140,0 | 43,5 | 50,5 | 34,0 | 35,5 | 40,5 | 160,0 |

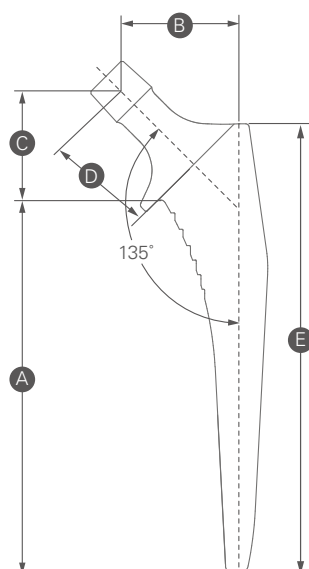
Unité : mm



Coxa vara

| Taille | A Longueur médiale | B Offset | C Hauteur verticale | D Longueur du col | E Longueur latérale |
|--------|-----------------------|-------------|------------------------|----------------------|------------------------|
| #2 | 99,5 | 43,5 | 29,0 | 37,5 | 119,5 |
| #3 | 104,0 | 44,5 | 29,0 | 37,5 | 124,0 |
| #4 | 108,5 | 45,0 | 29,0 | 37,5 | 128,5 |
| #5 | 113,0 | 46,0 | 29,0 | 37,5 | 133,0 |
| #6 | 117,5 | 46,5 | 29,0 | 37,5 | 137,5 |
| #7 | 122,0 | 47,0 | 29,0 | 37,5 | 142,0 |
| #8 | 126,5 | 48,0 | 29,0 | 37,5 | 146,5 |
| #9 | 131,0 | 48,5 | 29,0 | 37,5 | 151,0 |
| #10 | 135,5 | 49,5 | 29,0 | 37,5 | 155,5 |
| #11 | 140,0 | 50,5 | 29,0 | 37,5 | 160,0 |

Unité : mm



Col court

| Taille | A Longueur médiale | B Offset | C Hauteur verticale | D Longueur du col | E Longueur latérale |
|--------|-----------------------|-------------|------------------------|----------------------|------------------------|
| #1 | 95,0 | 31,0 | 29,0 | 28,5 | 115,0 |
| #2 | 99,5 | 31,5 | 29,0 | 28,5 | 119,5 |
| #3 | 104,0 | 32,5 | 29,0 | 28,5 | 124,0 |

Unité : mm

Informations de commande

| Référence | Description |
|-----------|-------------|
|-----------|-------------|

Tige Conformity, à cimenter

Standard



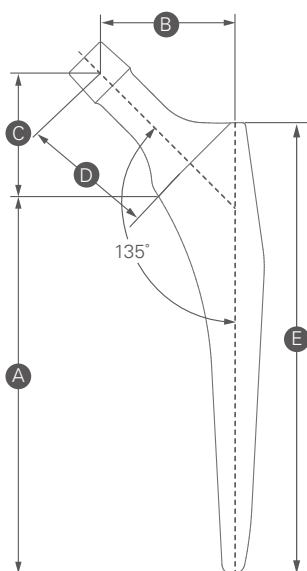
High offset



Standard

High offset

| | | |
|-------------|-------------|------|
| 1110 - 7001 | 1110 - 7201 | # 1 |
| 1110 - 7002 | 1110 - 7202 | # 2 |
| 1110 - 7003 | 1110 - 7203 | # 3 |
| 1110 - 7004 | 1110 - 7204 | # 4 |
| 1110 - 7005 | 1110 - 7205 | # 5 |
| 1110 - 7006 | 1110 - 7206 | # 6 |
| 1110 - 7007 | 1110 - 7207 | # 7 |
| 1110 - 7008 | 1110 - 7208 | # 8 |
| 1110 - 7009 | 1110 - 7209 | # 9 |
| 1110 - 7010 | 1110 - 7210 | # 10 |



| Taille | A Longueur médiale | B Offset | | C Hauteur verticale | D Longueur du col | | E Longueur latérale |
|--------|-----------------------|-------------|-------------|------------------------|----------------------|-------------|------------------------|
| | | Standard | High offset | | Standard | High offset | |
| #1 | 95,0 | 36,0 | 43,0 | 34,0 | 35,5 | 40,5 | 115,0 |
| #2 | 99,5 | 36,5 | 43,5 | 34,0 | 35,5 | 40,5 | 119,5 |
| #3 | 104,0 | 37,5 | 44,5 | 34,0 | 35,5 | 40,5 | 124,0 |
| #4 | 108,5 | 38,0 | 45,0 | 34,0 | 35,5 | 40,5 | 128,5 |
| #5 | 113,0 | 39,0 | 46,0 | 34,0 | 35,5 | 40,5 | 133,0 |
| #6 | 117,5 | 39,2 | 46,5 | 34,0 | 35,5 | 40,5 | 137,5 |
| #7 | 122,0 | 40,0 | 47,0 | 34,0 | 35,5 | 40,5 | 142,0 |
| #8 | 126,5 | 41,0 | 48,0 | 34,0 | 35,5 | 40,5 | 146,5 |
| #9 | 131,0 | 41,5 | 48,5 | 34,0 | 35,5 | 40,5 | 151,0 |
| #10 | 135,5 | 42,5 | 49,5 | 34,0 | 35,5 | 40,5 | 155,5 |

Unité : mm

Informations de commande

| | Référence | Taille | Taille du canal |
|---|-------------|--------|-----------------|
| Bouchon à ciment | | | |
|  | 1907 - 1008 | # 8 | 8- 9 |
| | 1907 - 1010 | # 10 | 10- 11 |
| | 1907 - 1012 | # 12 | 12- 13 |
| | 1907 - 1014 | # 14 | 14- 15 |
| | 1907 - 1016 | # 16 | 16- 17 |
| | 1907 - 1018 | # 18 | 18- 19 |

Têtes compatibles

* Commande spéciale



| Tête fémorale (cône 12/14, 5°43) | | Métal CrCo | | Céramique BIOLOX® <i>delta</i> * | | Céramique BIOLOX® OPTION | |
|-------------------------------------|--------|---------------|------------|-------------------------------------|------------|-----------------------------|------------|
| ø (mm) | Taille | Lg. | Références | Lg. | Références | Lg. | Références |
| 22,2 | M | + 0 | 1206-1122 | | | | |
| | L | + 3 | 1206-1322 | | | | |
| | XL | + 6 | 1206-1522 | | | | |
| | XXL | + 9 | 1206-1722 | | | | |
| 28 | S | - 3 | 1206-1028 | - 2,5 | 1203-5028 | - 2 | 1203-7028 |
| | M | + 0 | 1206-1128 | + 1 | 1203-5228 | + 1 | 1203-7228 |
| | L | + 2,5 | 1206-1228 | + 4 | 1203-5428 | + 5 | 1203-7428 |
| | XL | + 5 | 1206-1428 | | | + 8 | 1203-7628 |
| | XXL | + 7,5 | 1206-1628 | | | | |
| | XXXL | + 10 | 1206-1828 | | | | |
| 32 | S | - 3 | 1206-1032 | - 3 | 1203-5032 | - 2 | 1203-7032 |
| | M | + 0 | 1206-1132 | + 1 | 1203-5232 | + 1 | 1203-7232 |
| | L | + 2,5 | 1206-1232 | + 5 | 1203-5432 | + 5 | 1203-7432 |
| | XL | + 5 | 1206-1432 | + 8 | 1203-5632 | + 8 | 1203-7632 |
| | XXL | + 7,5 | 1206-1632 | | | | |
| | XXXL | + 10 | 1206-1832 | | | | |
| 36 | S | - 3 | 1206-1036 | - 3 | 1203-5036 | - 2 | 1203-7036 |
| | M | + 0 | 1206-1136 | + 1 | 1203-5236 | + 1 | 1203-7236 |
| | L | + 2,5 | 1206-1236 | + 5 | 1203-5436 | + 5 | 1203-7436 |
| | XL | + 5 | 1206-1436 | + 9 | 1203-5636 | + 8 | 1203-7636 |
| | XXL | + 7,5 | 1206-1636 | | | | |
| | XXXL | + 10 | 1206-1836 | | | | |
| 40* | S | | | - 3 | 1203-5040 | - 2 | 1203-7040 |
| | M | | | + 1 | 1203-5240 | + 1 | 1203-7240 |
| | L | | | + 5 | 1203-5440 | + 5 | 1203-7440 |
| | XL | | | + 9 | 1203-5640 | + 8 | 1203-7640 |

Unité : mm

Références

- [1] The biology of normal bone remodelling. Katsimbri P. *Eur J Cancer Care (Engl)*. 2017;26(6). doi: 10.1111/ecc.12740.
- [2] Rapport UOC-UPD-21-003. Données internes United.
- [3] Upper Femur Anatomy Depends on Age and Gender: A Three-Dimensional Computed Tomography Comparative Bone Morphometric Analysis of 628 Healthy Patients' Hips. Carmona M, Tzioupis C, LiArno S, Faizan A, Argenson JN, Ollivier M. *J Arthroplasty*. 2019 Oct;34(10):2487-2493. doi: 10.1016/j.arth.2019.05.036.
- [4] Morphometric Study of the Proximal Femur Extremity in Brazilians. de Sousa EB, Fernandes RMP, Mathias MB, Rodrigues MR, Ambram AJ, Babinski MA. *Int. J. Morphol*. 2010;28(3):835-40.
- [5] Anthropometric Study of Proximal Femur Geometry and Its Clinical Application. Siwach R. *Ann Natl Acad Med Sci*. 2018;54(4):203-15.
- [6] The morphology of the proximal femur. A three-dimensional radiographic analysis. Rubin PJ, Leyvraz PF, Aubaniac JM, Argenson JN, Estève P, de Roguin B. *J Bone Joint Surg Br*. 1992 Jan;74(1):28-32.
- [7] The anatomic basis of femoral component design. Noble PC et al. *Clin Orthop Relat Res*. 1988 Oct;(235):148-65.
- [8] Anthropometric measurements to design best-fit femoral stem for the Indian population. Rawal B et al. *Indian J Orthop*. 2012 Jan;46(1):46-53. doi: 10.4103/0019-5413.91634.
- [9] Three-dimensional morphology of the proximal femur. Husmann P et al. *J Arthroplasty*. 1997 Jun;12(4):444-50. doi: 10.1016/s0883-5403(97)90201-1.
- [10] Occult periprosthetic femoral fractures occur frequently during a long, trapezoidal, double-tapered cementless femoral stem fixation in primary THA. Yun HH, Lim JT, Yang SH, Park PS. *PLoS One*. 2019 Sep 19;14(9):e0221731. doi: 10.1371/journal.pone.0221731.
- [11] Dossier UOC-UPD-SI-21004. Données commerciales internes United.
- [12] Compared fixation and survival of 280 lateralised vs 527 standard cementless stems after two years (1–7). Cantin O, Viste A, Desmarchelier R, Besse JL, Fessy MH. *Orthop Traumatol Surg Res* 2015;101:775–780.
- [13] Cementless lateralized stems in primary THA: Mid-term survival and risk factors for failure in 172 stems . Courtin C, Viste A, Subtil F, Cantin O, Desmarchelier R, Fessy MH. *Orthop Traumatol Surg Res* 2017;103:15–19.

Each Step We Care



United France SAS

7 Allée des Peupliers
54180 Houdemont
Tél : +33 3 83 23 39 72
Fax : +33 3 83 23 39 10
Contact : fr.service@unitedorthopedic.com
Web : fr.unitedorthopedic.com

Représentant EU mdi Europa GmbH

Langenhagener Strasse 71,
30855 Langenhagener, Allemagne
Tél : +49 511 3908 9530
Fax : +49 511 3908 9539

Les tiges Conformity™ sont des dispositifs médicaux de Classe III, fabriquées par United Orthopedic Taiwan sous le numéro de marquage CE 2195 (SZUTEST). Elles sont indiquées dans les arthroplasties de hanche de première intention. Veuillez lire attentivement les instructions figurant dans la notice d'utilisation. Ces dispositifs sont remboursés par les organismes d'assurance maladie sous certaines conditions, veuillez consulter les modalités sur le site ameli.fr.
Réf. 2203UOCPM001

© 2022 United Orthopedic Corporation. CON_BRO_032022_v2 (Réf. UOC-BR-UN-00004 Rev.2 FEB.2021)

